



دانشکده مکانیک

پایاننامه برای دریافت درجه کارشناسی ارشد

در رشته مکانیک گرایش تبدیل انرژی

شبیه سازی عددی جریان تپشی در پیل سوختی پلیمری با کanal جریان در هم پیچیده

استاد راهنما:

دکتر عباس رامیار

استاد مشاور:

دکتر قدیر اسماعیلی

دانشجو:

امیر حسین محمودی

۱۳۹۳ دی ماه

بِسْمِ اللّٰهِ الرَّحْمٰنِ الرَّحِيْمِ

تقدیم به:

پدر و مادر عزیزم که در تمام زندگی حامی و یاور من بودند.

تشکر و قدردانی:

برخود لازم میدانم تا از زحمات همه جانبی استاد راهنمای گرانقدر جناب آقای دکتر رامیار تشکر نمایم.
همچنین از استاد مشاور ارجمند جناب آقای دکتر قدیر اسماعیلی، تمامی اساتید دانشکده مهندسی مکانیک و
تمامی دوستان عزیزم که در رشد و بالندگی من نقش موثر داشته اند تشکر می کنم.

چکیده

در این پژوهش عملکرد پیل سوختی با کanal جریان در هم پیچیده مورد مطالعه قرار گرفته است. به منظور شبیه سازی فرایندهای پیل سوختی از یک مدل عددی دو بعدی، همدمای گذرا، دو فازی و چند جزئی استفاده شده است. مدل ایجاد شده شامل لایه‌ی نفوذ گازی کاتدی می‌باشد و لایه‌ی کاتالیستی کاتد به صورت یک لایه‌ی بی‌نهایت باریک در نظر گرفته شده است. مقایسه‌ی نتایج به دست آمده با نتایج کارهای موجود نشان دهنده‌ی این امر می‌باشد که شبیه‌سازی با دقت خوبی انجام گرفته است. در این شبیه سازی تأثیر برخی پارامترهای هندسی و عملکردی موردمطالعه قرار گرفته است. از نتایج به دست آمده مشخص شده است که افزایش اختلاف فشار بین کanal‌های ورودی و خروجی می‌تواند موجب افزایش عملکرد پیل سوختی گردد. همچنین نتایج نشان دهنده‌ی اهمیت در نظر گرفتن فشردگی غیریکنواخت لایه‌ی نفوذ گازی در اثر نیروی به هم بستن اجزای پیل سوختی در شبیه سازی می‌باشد. در این مطالعه از جریان ورودی هوا به صورت تپشی استفاده گردید که نتایج به دست آمده در مقایسه با نتایج حاصل از جریان ورودی پیوسته نشان دهنده‌ی تأثیرگذاری جریان تپشی در دفع آب و کاهش غرقابگی لایه‌ی نفوذ گازی کاتد و درنتیجه بهبود عملکرد پیل سوختی می‌باشد. عملکرد پیل سوختی به تغییرات فرکانس در محدوده در نظر گرفته شده در این مطالعه وابستگی چندانی نشان نداده است اما افزایش دامنه‌ی تپش ورودی تأثیر قابل توجهی بر روی افزایش عملکرد دارا می‌باشد. همچنین بررسی‌ها نشان داده است که استفاده از جریان تپشی در فشارهای متوسط پایین‌تر نتایج بهتری را به همراه دارد.

کلمات کلیدی: پیل سوختی، کanal جریان در هم پیچیده، فشردگی غیر همگن لایه‌ی نفوذ گازی، جریان

تپشی

فهرست عناوین

۱	فصل ۱: مقدمه
۲	۱-۱ مقدمه
۳	۱-۲ پیل سوختی
۵	۱-۳ پیل سوختی پلیمری
۶	۱-۴ اصول کار پیل سوختی پلیمری
۷	۱-۵ اجزای پیل سوختی پلیمری
۸	۱-۵-۱ الکترودها
۸	۱-۵-۲ غشای پلیمری
۸	۱-۵-۳ لایه‌های کاتالیست
۹	۱-۵-۴ صفحات دوقطبی
۱۱	۱-۵-۵-۱ میدان درهم‌پیچیده
۱۴	۱-۶ منحنی مشخصه‌ی پیل سوختی
۱۷	۱-۷ مدیریت آب در پیل‌های سوختی
۲۰	۱-۷-۱ امکانیسم‌های انتقال آب از غشاء
۲۰	۱-۷-۱-۱ درگ الکتروسموتیک (جریان پتانسیل)
۲۰	۱-۷-۱-۲ نفوذ برگشتی (جریان با عامل حرکت تغییر غلظت)
۲۱	۱-۷-۱-۳ قابلیت نفوذ هیدرولیکی (جریان با عامل اختلاف فشار)
۲۱	۱-۷-۱-۴ ترموموسویز (جریان با عامل اختلاف دما)
۲۲	۱-۸ مدل سازی پیل‌های سوختی

۲۳.....	۱-۱ ضربت تخلخل
۲۴.....	۲-۱ کسر حجمی اشباع
۲۵.....	۳-۱ نفوذپذیری
۲۶.....	۴-۱ فشار موئینگی
۲۷.....	۹-۱ تعریف مسئله
۲۸.....	۱۰-۱ اهداف پژوهش

۳۰.....	فصل ۲ : مروری بر منابع
۳۱.....	۱-۲ مقدمه
۳۲.....	۲-۲ مدل سازی‌های اولیه
۳۳.....	۳-۲ مدل های دو فازی
۳۷.....	۴-۲ کارهای انجام شده در زمینه‌ی اثر شرایط عملکردی
۳۹.....	۵-۲ کارهای انجام شده در زمینه‌ی میدان جریان و هندسه پیل
۴۱.....	۶-۲ کارهای انجام شده در زمینه‌ی میدان جریان درهم‌پیچیده
۴۳.....	۷-۲ کارهای انجام شده در زمینه‌ی جریان تپشی
۴۵.....	۸-۲ کارهای انجام شده در زمینه‌ی تأثیر فشردگی لایه‌ی نفوذگازی

۴۸.....	فصل ۳: معادلات حاکم
۴۹.....	۱-۳ مقدمه
۵۰.....	۲-۳ روش جریان چندفازی (MFM)
۵۲.....	۳-۲ روابط ساختاری

۵۳	۳-۳ مدل مخلوط چند فازی (<i>MMM</i>)
۵۳	۱-۳-۳ تعاریف پایه
۵۵	۲-۳-۳ معادلات حاکم مدل <i>MMM</i>
۵۷	۳-۳-۳ کاربرد <i>MMM</i> در سیستم‌های دو فازی دوتایی
۵۹	۴-۳ تئوری جریان غیراشباع (<i>UTF</i>)
۶۰	۵-۳ معادلات حاکم بر کاتد پیل سوختی با ساختار کاملاً متخلخل
۶۵	فصل ۴: نتایج و بحث
۶۶	۱-۴ مقدمه
۶۶	۲-۴ ناحیه‌ی مدل سازی
۶۸	۳-۴ روند حل عددی
۶۸	۳-۴-۱ شرایط مرزی
۷۰	۳-۴-۲ حل معادلات مومنتم
۷۳	۳-۴-۳ الگوریتم سیمپل
۷۵	۴-۳ حل معادلات غلظت
۷۸	۴-۳-۵ تعیین مقدار کسر حجمی مایع
۷۸	۴-۳-۶ به روز رسانی متغیرها و محاسبه جریان خروجی پیل
۷۹	۴-۳-۷ فلوچارت کلی حل
۸۰	۴-۳-۸ بررسی استقلال از شبکه
۸۱	۴-۴ اعتبار سنجی
۸۲	۴-۵ نتایج

۸۷	۴-۵-۱ بررسی اثر اختلاف فشار
۹۰	۴-۵-۲ بررسی اثر ضخامت لایه نفوذ گازی
۹۳	۴-۵-۳ بررسی اثر اعمال جریان تپشی در ورودی
۹۴	۴-۵-۴-۳ جریان تپشی
۹۵	۴-۵-۴-۲-۳ اثر فرکانس جریان تپشی بر روی عملکرد پیل
۹۶	۴-۵-۴-۳-۳ اثر دامنه‌ی جریان تپشی بر روی عملکرد پیل
۱۰۸	۴-۵-۴-۳ اثر فشار متوسط بر روی عملکرد پیل
۱۱۰	۴-۶ اثر فشردگی لایه‌ی نفوذ گازی بر روی عملکرد پیل سوختی
۱۱۹	فصل ۵: نتیجه‌گیری و پیشنهادات
۱۲۰	۵-۱ نتیجه‌گیری
۱۲۱	۵-۲ پیشنهادات
۱۲۲	مراجع

فهرست شکل ها

۴	شکل (۱-۱) شماتیک پیل سوختی
۷	شکل (۲-۱) نحوه کارکرد پیل سوختی پلیمری
۷	شکل (۳-۱) شماتیکی از پیل سوختی غشاء پلیمری و اجزای آن
۱۰	شکل (۴-۱) صفحه‌ی توزیع کننده سوخت و اکسید کننده
۱۲	شکل (۵-۱) مکانیسم میدان‌های جریان رایج
۱۳	شکل (۶-۱) مکانیسم میدان جریان درهم پیچیده
۱۴	شکل (۷-۱) منحنی مشخصه‌ی پیل سوختی
۱۸	شکل (۸-۱) نمایشی از مکان‌های احتمالی وقوع غرقابگی در پیل سوختی غشای تبادل کننده پروتون
۲۲	شکل (۹-۱) مکانیسم‌های مختلف انتقال آب از غشاء
۶۷	شکل (۱-۴) نمای سه بعدی از لایه‌ی نفوذ گازی و کانال‌های جریان در پیل سوختی غشاء پلیمری
۶۷	شکل (۲-۴) ناحیه‌ی مدل سازی در راستای عمود بر کanal جریان درهم پیچیده
۷۲	شکل (۳-۴) حجم کنترل دو بعدی سرعت
۷۴	شکل (۴-۴) حجم کنترل برای معادله‌ی پیوستگی
۷۹	شکل (۵-۴) فلوچارت کلی مدل سازی
۸۰	شکل (۶-۴) بررسی استقلال از شبکه‌ی مدل ایجاد شده، الف) اثر تعداد المان شبکه، ب) اثر گام زمانی، بر روی منحنی مشخصه
۸۱	شکل (۷-۴) اعتبار سنجی مدل ایجاد شده
۸۳	شکل (۸-۴) بردارهای سرعت مخلوط، فاز گازی و فاز مایع در ولتاژ ۴۵/۰ ولت
۸۴	شکل (۹-۴) کانتور کسر حجمی اشباع مایع در ولتاژ ۴۵/۰ ولت

- شکل(۴-۱۰) کانتور فشار مخلوط در ولتاژ ۴۵/۰ ولت ۸۴
- شکل(۴-۱۱) کانتور غلظت جرمی مخلوط آب در ولتاژ ۴۵/۰ ولت ۸۵
- شکل(۴-۱۲) کانتور غلظت جرمی مخلوط اکسیژن در ولتاژ ۴۵/۰ ولت ۸۶
- شکل(۴-۱۳) اثر اختلاف فشار بر روی عملکرد پیل سوختی با کanal جریان درهم پیچیده ۸۷
- شکل(۴-۱۴) اثر اختلاف فشار بر روی چگالی توان خروجی از پیل سوختی با کanal جریان درهم پیچیده ۸۸
- شکل(۴-۱۵) تغییر سطح آب مایع لایه‌ی کاتالیستی برای تغییر اختلاف فشار در ولتاژ ۴۵/۰ ولت ۸۹
- شکل(۴-۱۶) تغییر منحنی چگالی جریان موضعی برای تغییرات اختلاف فشار در ولتاژ ۴۵/۰ ولت ۹۰
- شکل(۴-۱۷) اثر ضخامت لایه‌ی نفوذ گازی بر منحنی مشخصه ۹۱
- شکل(۴-۱۸) تغییرات کسر حجمی اشباع در ضخامت‌های مختلف لایه‌ی نفوذ گاز در ولتاژ ۴۵/۰ ولت ۹۲
- شکل(۴-۱۹) تغییرات چگالی جریان موضعی در ضخامت‌های مختلف لایه‌ی نفوذ گازی در ولتاژ ۴۵/۰ ولت ۹۳
- شکل(۴-۲۰) چگالی جریان تولیدی در پیل سوختی با جریان ورودی تپشی بر حسب زمان ۹۵
- شکل(۴-۲۱) اثر تغییر فرکانس تپش بر روی عملکرد پیل سوختی با کanal جریان درهم پیچیده ۹۶
- شکل(۴-۲۲) اثر تغییر دامنه‌ی جریان تپشی بر روی عملکرد پیل سوختی با کanal جریان درهم پیچیده ۹۷
- شکل(۴-۲۳) اثر تغییر دامنه‌ی جریان تپشی بر روی چگالی توان پیل سوختی با کanal جریان درهم پیچیده ۹۸
- شکل(۴-۲۴) مقایسه‌ی عملکرد پیل سوختی با کanal جریان درهم پیچیده با جریان ورودی تپشی (دامنه‌ی ۰/۶ و فرکانس ۵۰۰ هرتز در مقابل جریان پیوسته $f = 0$) (فشار متوسط ۷۰۰ پاسکال) ۹۹
- شکل(۴-۲۵) مقایسه‌ی چگالی توان پیل سوختی با کanal جریان درهم پیچیده با جریان ورودی تپشی (دامنه‌ی ۰/۶ و فرکانس ۵۰۰ هرتز در مقابل جریان پیوسته $f = 0$) (فشار متوسط ۷۰۰ پاسکال) ۹۹
- شکل(۴-۲۶) مقایسه‌ی کانتورهای غلظت مخلوط اکسیژن در لایه‌ی نفوذ گازی پیل سوختی با کanal جریان درهم پیچیده با جریان ورودی تپشی (دامنه‌ی ۰/۶ و فرکانس ۵۰۰ هرتز) در مقابل جریان پیوسته $f = 0$ (فشار ۷۰۰ پاسکال)، ولتاژ ۴۵/۰ ولت ۱۰۱

شكل(۲۷-۴) مقایسه‌ی توزیع غلظت مخلوط اکسیژن در لایه‌ی کاتالیستی پیل سوختی با کanal جریان درهم‌پیچیده با جریان ورودی تپشی (دامنه‌ی $6/0$ و فرکانس 500 هرتز) در مقابل جریان پیوسته ($0 = f$) (فشار متوسط 700 پاسکال)، ولتاژ $45/0$ ولت ۱۰۲

شكل(۲۸-۴) مقایسه‌ی کانتورهای کسر حجمی اشباع مایع در لایه‌ی نفوذ گازی پیل سوختی با کanal جریان درهم‌پیچیده با جریان ورودی تپشی (دامنه‌ی $6/0$ و فرکانس 500 هرتز) در مقابل جریان پیوسته ($0 = f$) (فشار 700 پاسکال)، ولتاژ $45/0$ ولت ۱۰۴

شكل(۲۹-۴) مقایسه‌ی توزیع چگالی جریان موضعی پیل سوختی با کanal جریان درهم‌پیچیده با جریان ورودی تپشی (دامنه‌ی $6/0$ و فرکانس 500 هرتز) در مقابل جریان پیوسته ($0 = f$) (فشار متوسط 700 پاسکال)، ولتاژ $45/0$ ولت ۱۰۵

شكل(۳۰-۴) اثر جریان تپشی با دامنه‌های $6/0-1/0$ و فرکانس 500 هرتز بر روی توزیع سرعت ۱۰۷

شكل(۳۱-۴) مقایسه‌ی عملکرد پیل سوختی با کanal جریان درهم‌پیچیده با جریان ورودی تپشی (دامنه‌ی $6/0$ و جریان پیوسته ($0 = f$) (فشار متوسط 500 و 600 پاسکال) ۱۰۸

شكل(۳۲-۴) مقایسه‌ی چگالی توان پیل سوختی با کanal جریان درهم‌پیچیده با جریان ورودی تپشی (دامنه‌ی $6/0$ و فرکانس 500 هرتز) در مقابل جریان پیوسته ($0 = f$) (فشار متوسط 500 و 600 پاسکال) ۱۰۹

شكل(۳۳-۴) مقایسه‌ی عملکرد پیل سوختی با کanal جریان درهم‌پیچیده با جریان ورودی تپشی (دامنه‌ی $6/0$ و فرکانس 500 هرتز) و فشار متوسط 500 پاسکال در مقابل جریان پیوسته با فشار 700 پاسکال ۱۱۰

شكل(۳۴-۴) فشردگی غیر همگن لایه‌ی نفوذ گازی در پیل سوختی با میدان جریان درهم‌پیچیده ۱۱۱

شكل(۳۵-۴) فشردگی غیر همگن لایه‌ی نفوذ گازی در پیل سوختی با میدان جریان درهم‌پیچیده ۱۱۳

شكل(۳۶-۴) تأثیر فشردگی لایه‌ی نفوذ گازی بر روی عملکرد پیل سوختی با کanal جریان درهم‌پیچیده ۱۱۴

شكل(۳۷-۴) تأثیر فشردگی لایه‌ی نفوذ گازی بر روی توان پیل سوختی با کanal جریان درهم‌پیچیده ۱۱۴

شكل(۳۸-۴) تأثیر فشردگی لایه‌ی نفوذ گازی روی چگالی جریان موضعی پیل سوختی با کanal جریان درهم‌پیچیده، ولتاژ $7/0$ ولت ۱۱۵

شكل(۳۹-۴) تأثیر فشردگی لایه‌ی نفوذ گازی بر روی توزیع غلظت اکسیژن در لایه‌ی کاتالیستی پیل سوختی با کanal جریان درهم‌پیچیده در ولتاژ $7/0$ ولت ۱۱۶

شكل(۴۰-۴) تأثیر فشردگی لایه‌ی نفوذ گازی بر روی چگالی جریان موضعی پیل سوختی با کanal جریان درهم پیچیده در ولتاژ ۵/۰ ولت.....	۱۱۷
شكل(۴۱-۴) تأثیر فشردگی لایه‌ی نفوذ گازی بر توزیع کسر حجمی اشباع در لایه‌ی نفوذ گازی پیل سوختی با کanal جریان درهم پیچیده در ولتاژ ۵/۰ ولت.....	۱۱۷
شكل(۴۲-۴) تأثیر فشردگی لایه‌ی نفوذ گازی بر توزیع غلظت اکسیژن در لایه‌ی کالیستی پیل سوختی با کanal جریان درهم پیچیده در ولتاژ ۵/۰ ولت	۱۱۸

فهرست جدول ها

جدول (۱-۱) انواع پیل‌های سوختی به همراه بعضی از مشخصات آن‌ها.....	۵
جدول (۱-۲) مزایا و معایب میدان‌های جریان	۱۱
جدول (۱-۴) ضرایب گسسته سازی	۷۲
جدول (۲-۴) بررسی استقلال از شبکه	۸۰
جدول (۳-۴) پارامترهای به کار برد شده در شبیه سازی به همراه مقادیر مربوطه	۸۲
جدول (۴-۴) مشخصات تپش‌های به کار رفته در این مطالعه	۹۴
جدول (۴-۵) مشخصات پارامترهای فشردگی لایه‌ی نفوذ گازی	۱۱۲

فهرست نماد ها

C	کسر جرمی
$g (m/s^2)$	شتاب گرانش زمین
$D(m^2/s)$	ضریب نفوذ
$F(C/mol)$	ثابت فارادی
$I (A/cm^2)$	چگالی جریان
j	شاری جرمی فازی
$P(pa)$	فشار
$R(j.mol^{-1}.K^{-1})$	ثابت جهانی گاز ها
s	کسر حجمی اشباع مایع
$i_0(A/cm^2)$	چگالی جریان تبادلی
$N(k.m^{-2}.s^{-1})$	شار جرمی
$\bar{m}_k (k.m^{-2}.s^{-1})$	نرخ انتقال جرم بین سطحی
$J(s)$	تابع لورت
k_r	نفوذ پذیری نسبی
K	نفوذ پذیری مطلق
$M(kg/mol)$	وزن مولکولی هر گونه
$T(K)$	دما
$u(m/s)$	سرعت
$v(m/s)$	سرعت
x	مولفه‌ی مختصات در راستای x
y	مولفه‌ی مختصات در راستای y
$V(V)$	پتانسیل الکتریکی
$E(V)$	پتانسیل معادل
$R_{ohmic}(\Omega)$	مقاومت اهمی
$\eta(V)$	افت پتانسیل.
ϵ	ضریب تخلخل
C	ضریب اصلاح ادواکسیون
α	ضریب کلی انتقال آب

$\mu(pa.s)$	لزجت دینامیکی
τ	ضریب خمیدگی
λ	حرکت پذیری نسبی فازها
$\theta_c(^{\circ})$	زاویهٔ تتماسی
$\sigma(N/m)$	تنش سطحی
$\rho(kg/m^3)$	چگالی
$v(m^2/s)$	لزجت سینماتیک
α_c	ضریب انتقال بار کاتندی
Γ	ضریب نفوذ موثر
g	گاز
l	مایع
sat	اشباع
H_2O	آب
O_2	اکسیژن
eff	موثر
c	مؤینگی
w	آب
ref	مرجع
ave	متوسط
v	بخار

فصل ۱

مقدمه

۱-۱ مقدمه

در حال حاضر سوختهای فسیلی در حدود ۸۰ درصد از مصرف کل انرژی جهان را به خود اختصاص داده‌اند، که ادامه‌ی استفاده از آن‌ها دو مشکل عمده را به وجود می‌آورد، نخست اینکه منابع آن‌ها محدود می‌باشند و دیر یا زود به پایان خواهند رسید، مشکل دوم این است که مصرف این سوخت‌ها خسارات و صدمات جبران ناپذیر زیادی به محیط زیست؛ از قبیل بالا رفتن دمای زمین، تغییرات آب و هوایی، ذوب شدن یخ‌های قطبی، بالا آمدن سطح دریاهای باران‌های اسیدی، آلودگی هوا، سوراخ شدن لایه‌ی اوزون و غیره، وارد می‌سازد. این عوامل در کنار افزایش قیمت سوخت‌های فسیلی و درگیری‌های سیاسی از جمله دلایلی هستند که بسیاری از سیاستمداران، متخصصین انرژی و محیط زیست را در حرکت به سوی حفظ محیط زیست و افزایش کارایی سیستم انرژی وادار نموده است. بر این اساس هیدروژن یکی از بهترین گزینه‌ها برای جایگزینی سوخت‌های فسیلی می‌باشد.

از جمله ویژگی‌هایی که هیدروژن را از دیگر سوخت‌ها متمایز می‌نماید، می‌توان به فراوانی، انتشار بسیار ناچیز آلاینده‌ها، برگشت‌پذیر بودن چرخه‌ی تولید و کاهش اثرات گلخانه‌ای اشاره نمود. سیستم انرژی هیدروژنی سیستمی دائمی، پایدار، فنا ناپذیر، فرآگیر و تجدیدپذیر می‌باشد و پیش‌بینی می‌شود که در آینده‌ای نه چندان دور تولید و مصرف آن فرآگیر شود؛ با این وجود نباید انتظار داشت که هیدروژن از همان ابتدا، از نظر قیمتی بتواند با سایر سوخت‌ها رقابت نماید. عمل تبدیل انرژی شیمیایی موجود در هیدروژن به انرژی الکتریکی توسط پیل سوختی انجام می‌پذیرد که متناسب با کاربرد و خواص ساختاری آن‌ها، پیل‌های سوختی خود به انواع مختلف تقسیم می‌شوند.

۲-۱ پیل سوختی

پیل‌های سوختی وسایل الکتروشیمیایی هستند که انرژی شیمیائی سوخت را مستقیماً به الکتریسیته تبدیل می‌کنند. برخلاف باتری‌ها که وسایل ذخیره‌ی انرژی بوده و واکنش‌گرها جزء لاینفک آن‌ها هستند، پیل‌های سوختی مادامی که با سوخت و اکسیدکننده تغذیه شوند، انرژی الکتریکی تولید می‌کنند. در مجموع می‌توان پیل سوختی را در شکل کلی به یک موتور احتراق داخلی تشبيه کرد که در آن انرژی شیمیائی سوخت به کار تبدیل می‌شود، حال اينکه پیل‌های سوختی مزیت‌های زیادی نسبت به موتورهای احتراق داخلی دارند. در موتور احتراق داخلی، فرآيند تبدیل انرژی چند مرحله‌ای بوده و مقدار آن وابسته به درجه‌ی حرارت دو منبع حرارتی سرد و گرم است. در حالی که پیل سوختی یک مبدل حرارتی هم دما بوده و محدودیت قانون کارنو را ندارد. نداشتن ارتعاشات و سر و صدا، هزینه‌ی تعمیر و نگهداری کم، تنوع سوخت و امکان تهیه‌ی آن (مانند هیدروژن) از منابع انرژی تجدیدپذیر و تجدید ناپذیر و مهم‌تر از همه آلودگی کم را می‌توان از دیگر مزایای پیل سوختی به حساب آورد.

به طور کلی هر پیل سوختی مانند شکل (۱-۱)، شامل یک الکترود کاتد^۱ و یک الکترود آند^۲ بوده که در بین آن‌ها الکترولیت^۳ قرار دارد و این مجموعه بین دو صفحه‌ی توزیع‌کننده^۴ جریان قرار گرفته است. سوخت و اکسیدکننده توسط این صفحات شیاردار روی لایه‌های نفوذی گاز^۵ توزیع می‌شوند. سوخت و اکسیدکننده از طریق این کanal‌ها وارد پیل سوختی شده و با وقوع واکنش‌های اکسیداسیون و احیاء روی لایه‌های نازک کاتالیست^۶ واقع بر روی الکترودها، جریان الکتریکی تولید می‌شود.

^۱ Cathode

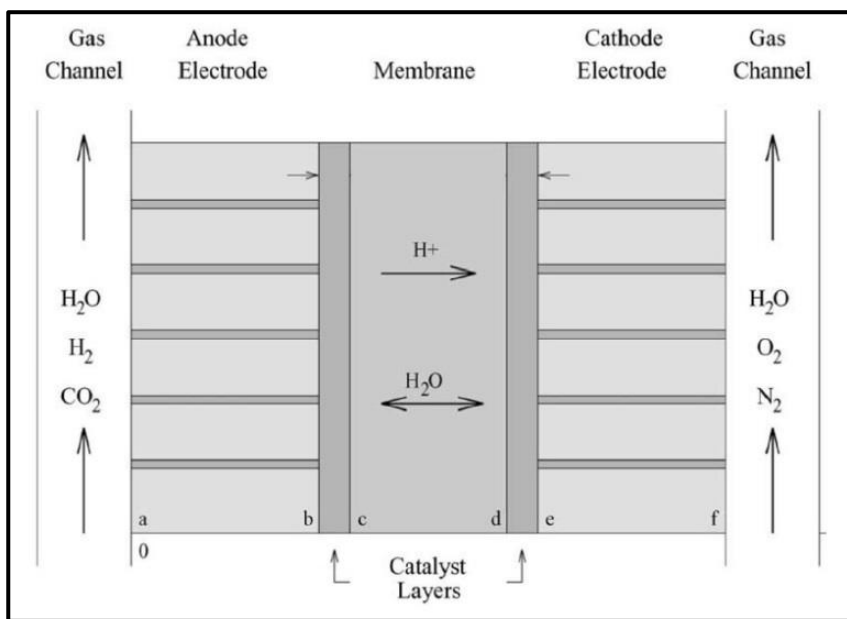
^۲ Anode

^۳ Electrolyte

^۴ Dsiributor

^۵ Gas diffusion layer (GDL)

^۶ Catalyst



شکل (۱-۱) شماتیک پیل سوختی

جريان تولید شده در پیل سوختی، جریانی مستقیم و با ولتاژ کم است، از این رو امکان استفاده مستقیم از آن در بسیاری از وسائل الکتریکی وجود دارد. البته بسته به نیاز می‌توان پیلهای سوختی را به صورت سری و یا موازی به یکدیگر متصل نمود تا یک استک^۱ پیل سوختی را تشکیل دهند. همچنین در صورت نیاز به جریان متناوب می‌توان با استفاده از یک مبدل الکتریکی، جریان مستقیم پیل سوختی را به متناوب تبدیل کرد.

پیلهای سوختی را می‌توان بر اساس دمای کارکردی، نوع واکنشگرهای، نوع یون عبوری از الکتروولیت و یا نوع الکتروولیت به کار رفته در آن‌ها تقسیم بندی کرد، ولی معمولاً تقسیم بندی بر اساس نوع الکتروولیت به کار رفته در آن‌ها انجام می‌شود و اسم این پیلهای از همینجا گرفته شده است. در جدول (۱-۱) پیلهای سوختی متداول به همراه بعضی از مشخصات آن‌ها آورده شده است.

^۱ Stack

جدول (۱-۱) انواع پیل‌های سوختی به همراه بعضی از مشخصات آن‌ها

اکسید جامد (SOFC)	پلیمری (PEMFC)	آلکالین (AFC)	فسفریک اسید (PAFC)	کربنات مذاب (MCFC)	نوع پیل سوختی مشخصه
O_2^-	H^+	OH^-	H^+	CO_3^-	یون مبادله کننده
۶۰۰ - ۱۰۰۰	۵۰ - ۱۰۰	۵۰ - ۲۰۰	۲۲۰	۶۵۰	درجه حرارت کاری ($^{\circ}C$)
۱/۵ - ۲/۶	۲/۶ - ۳/۸	۰/۷ - ۸/۱	۰/۸ - ۱/۹	۰/۱ - ۱/۵	چگالی توان (kw/m^2)
داخلی یا خارجی	خارجی	خارجی	خارجی	داخلی یا خارجی	نوع مبدل سوخت
۵۰ - ۶۰	۴۰ - ۵۰	۴۵ - ۶۰	۴۰ - ۵۰	۵۰ - ۶۰	بازده (%)
ساعت	ثانیه - دقیقه	دقیقه	ساعت	ساعت	حدود زمان شروع به کار

با توجه به مقادیر ارائه شده در جدول (۱-۱)، مشاهده می‌شود که پیل سوختی پلیمری^۱ نسبت به سایر انواع پیل سوختی دارای چگالی قدرت^۲ بالاتر و درجه حرارت کاری پائین تری می‌باشد. ویژگی مهم دیگر پیل سوختی پلیمری زمان شروع به کار کم آن است که آن را برای کاربردهای روزمره مثل حمل و نقل و استفاده در وسایل الکتریکی قابل حمل بسیار مناسب می‌کند.

۳-۱ پیل سوختی پلیمری

با توجه به استفاده‌ی روز افرون از اتومبیل برای حمل و نقل و حجم بالای آلاینده‌های تولید شده توسط سوختهای فسیلی، لازم است که موتورهای احتراق داخلی را با مبدل‌های انرژی کارآمدتری جایگزین نمود که

^۱ Polymer fuel cell

^۲ Power density